

**EUUF**

**Exame Unificado  
das Pós-graduações em Física**

Para o segundo semestre de 2019

02 de abril de 2019

Parte 1

---

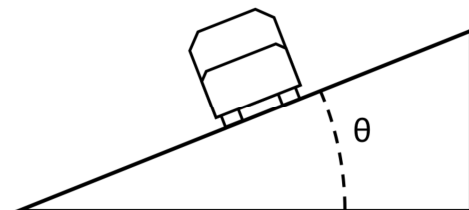
Esta prova contém questões de mecânica clássica, física moderna, mecânica quântica e termodinâmica. Todas as questões têm o mesmo peso.

Informações úteis para a solução desta prova podem ser encontradas no formulário fornecido.

---

**Boa prova!**

- Q1. Um carro se move numa pista circular inclinada de um ângulo  $\theta$  em relação à horizontal. A figura abaixo mostra o plano transversal ao movimento do carro. O módulo da aceleração da gravidade é  $g$ .



- (a) Indique esquematicamente todas as forças que atuam no carro, se o atrito for desprezível.
- (b) Ainda desprezando o atrito, encontre o módulo da velocidade com a qual o carro se move, se ele descreve um círculo de raio  $R$ .
- (c) **A partir deste item, considere que haja atrito entre os pneus do carro e a pista e que o coeficiente de atrito estático seja  $\mu$ .** Se o carro se move com a velocidade máxima possível sem derrapar, indique esquematicamente todas as forças que atuam no carro.
- (d) Qual é o módulo da velocidade máxima com a qual o carro é capaz de fazer a curva de raio  $R$  sem derrapar?
- (e) Suponha agora que  $\sin \theta > \mu \cos \theta$  e que o carro se mova bem mais lentamente. Indique esquematicamente todas as forças que atuam no carro nesse caso. Determine a velocidade mínima com a qual o carro consegue descrever o círculo de raio  $R$  sem derrapar.
- Q2. Considere um pêndulo constituído por um pequeno corpo de massa  $m$  suspenso por uma mola de massa desprezível e constante elástica  $k$ . O comprimento de equilíbrio da mola (sem nenhuma massa pendurada) é  $l$ . Considere que o movimento do pêndulo esteja sempre contido num plano vertical fixo. Utilize coordenadas generalizadas tais que o comprimento da mola seja  $l + r(t)$  e o ângulo desta com a vertical seja  $\theta(t)$ .
- (a) Escreva a energia cinética do sistema em termos de  $r$ ,  $\theta$  e suas derivadas temporais.
- (b) Escreva a energia potencial do sistema em termos de  $r$ ,  $\theta$  e suas derivadas temporais.
- (c) Escreva a lagrangiana do sistema.
- (d) Escreva as equações de Euler-Lagrange para  $r$  e  $\theta$ .
- (e) Considere agora o movimento puramente vertical do pêndulo, ou seja,  $\theta(t) = 0$  para todo  $t$ . Encontre a solução geral (em termos de duas constantes arbitrárias) da equação de Euler-Lagrange para  $r$ .
- Q3. Raios cósmicos que atingem a atmosfera terrestre dão origem a uma cascata de partículas com diversas energias, entre elas os múons. Múons são instáveis e decaem espontaneamente segundo a lei  $N(t) = N_0 e^{-t/\tau}$ , onde  $N(t)$  e  $N_0$  são os números de múons nos instantes  $t$  e  $t = 0$ , respectivamente, e  $\tau$  é o tempo de vida do múon, cujo valor é  $\tau = 2,0 \mu\text{s}$ , quando medido no seu referencial próprio. Um detector  $D_1$  de múons seletivo em velocidade é montado no topo de uma montanha a  $2,94 \times 10^3$  m acima do nível do mar. O detector é ajustado para detectar partículas com velocidade  $v = 0,98c$ . Num certo intervalo de tempo, são detectados  $1,5 \times 10^3$  múons. Em um outro detector semelhante  $D_2$ , montado ao nível do mar, faz-se a mesma medida (mesma velocidade e mesmo intervalo de tempo) e obtém-se um número de múons que é ordens de grandeza maior que o valor esperado segundo a física não relativística.
- (a) Determine o número de múons que seria esperado no detector  $D_2$ , segundo a física não relativística.

(b) Explique *qualitativamente* por que o número observado no detector  $D_2$  é maior que a expectativa não relativística.

(c) Calcule a contagem de múons no detector  $D_2$ : (i) do ponto de vista de um observador no referencial preso ao detector e (ii) do ponto de vista de um observador no referencial próprio dos múons.

(d) Considere um referencial inercial  $S$ , no qual tanto os múons quanto o detector  $D_2$  estão em movimento, aproximando-se com velocidades de módulos iguais. Do ponto de vista de um observador no referencial  $S$ , o número de múons observado no detector  $D_2$  é menor, maior ou igual ao do item (c)? Justifique sua resposta.

Q4. A função de onda que descreve a dinâmica quântica unidimensional de uma partícula de massa  $m$  como função do tempo  $t$  na presença de um potencial confinante é

$$\Psi(x,t) = C \left( x^2 - \frac{\hbar}{4am} \right) e^{-a[(mx^2/\hbar)+5it]},$$

onde  $C$  e  $a$  são constantes reais positivas com dimensões apropriadas.

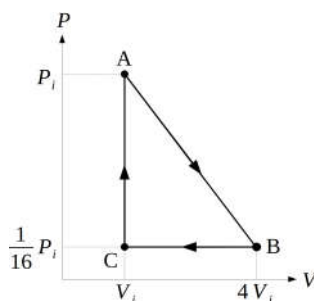
(a) Através de análise dimensional, determine a dimensão física da constante  $C$ .

(b) A partícula está em um autoestado de energia? Se sim, qual é o autovalor de energia correspondente? Justifique suas respostas.

(c) Determine os desvios padrão da posição  $x$  e do momento linear  $p$  da partícula, sabendo que os valores esperados de  $x^2$  e  $p^2$  para este estado são  $\langle \hat{x}^2 \rangle = C^2 \sqrt{\frac{\pi}{2}} \frac{5}{32} \left( \frac{\hbar}{am} \right)^{7/2}$  e  $\langle p^2 \rangle = 40 \sqrt{\frac{2}{\pi}} \frac{\hbar^2}{C^2} \left( \frac{am}{\hbar} \right)^{7/2}$ . Os desvios padrão são consistentes com o princípio de incerteza? Justifique sua resposta.

(d) Determine a função energia potencial da partícula.

Q5. Uma amostra de 1,0 mol de gás ideal monoatômico (capacidades térmicas molares  $C_V = 3R/2$  e  $C_p = 5R/2$ ) é submetida ao processo termodinâmico cíclico mostrado no diagrama de pressão versus volume da figura abaixo. O ciclo é percorrido no sentido horário. As pressões e os volumes nos pontos A, B e C são mostrados na figura e todas as transformações sofridas pelo gás são reversíveis, seguindo as linhas retas contínuas AB, BC e CA. Dê suas respostas em termos da constante universal dos gases  $R$  e da pressão  $P_i$  e do volume  $V_i$  do gás no ponto A.



(a) Encontre as temperaturas  $T_A$ ,  $T_B$  e  $T_C$  do gás nos pontos A, B e C.

(b) Encontre o calor total trocado entre a vizinhança e o gás a cada ciclo,  $Q_{\text{ciclo}}$ .

(c) Calcule o calor trocado entre a vizinhança e o gás entre os pontos A e B,  $Q_{AB}$ .

(d) Calcule a variação da entropia do gás entre os pontos A e B,  $\Delta S_{AB} = S_B - S_A$ .

**EUUF**

**Exame Unificado  
das Pós-graduações em Física**

Para o segundo semestre de 2019

03 de abril 2019

Parte 2

---

Esta prova contém questões de eletromagnetismo, física moderna, mecânica quântica e mecânica estatística. Todas as questões têm o mesmo peso.

Informações úteis para a solução desta prova podem ser encontradas no formulário fornecido.

---

**Boa prova!**

Q6. Um capacitor de placas paralelas condutoras tem suas duas placas perpendiculares à direção  $z$ . Uma das placas, localizada em  $z = 0$ , tem um potencial elétrico  $V = 0$ , enquanto a outra placa, localizada em  $z = d$ , tem um potencial elétrico  $V = V_0$ , onde  $V_0$  é uma constante. No espaço entre as placas, preenchido por um dielétrico com permissividade elétrica  $\epsilon$ , a densidade de carga elétrica livre é dada por

$$\rho_F(z) = \rho_0 e^{-\alpha z},$$

onde  $\rho_0$  e  $\alpha$  são constantes. Despreze os efeitos de borda.

(a) Mostre que o potencial entre as placas é da forma

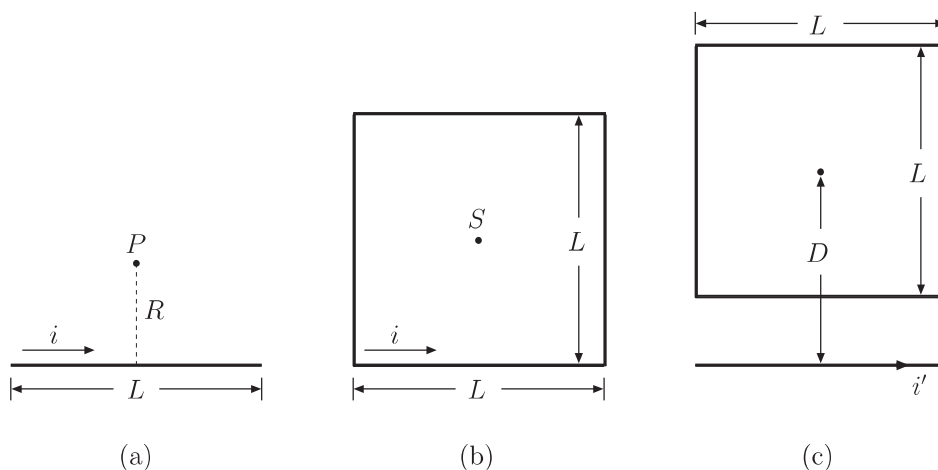
$$V(z) = A + Bz - \frac{\rho_0}{\epsilon\alpha^2} e^{-\alpha z},$$

onde  $A$  e  $B$  são constantes.

(b) Determine as constantes  $A$  e  $B$  a partir das condições de contorno.

(c) Determine o **vetor** campo elétrico entre as placas.

Q7. (a) Um segmento retilíneo de fio, de comprimento  $L$ , transporta uma corrente  $i$ . Calcule o módulo do campo magnético  $B$ , produzido pelo segmento no ponto  $P$ , localizado a uma distância  $R$  do segmento e equidistante de suas extremidades, como mostra a Figura (a).

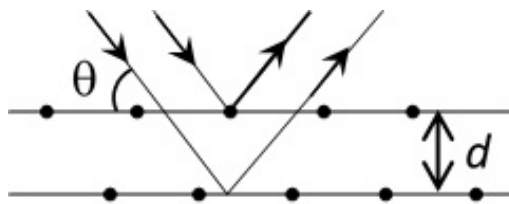


(b) Use o resultado do item (a) e obtenha  $B$  quando  $R \ll L$ . Compare o resultado com o módulo do campo magnético gerado por um fio muito longo.

(c) Considere agora uma espira quadrada de fio, de lado  $L$ , transportando uma corrente  $i$ , como na Figura (b). Calcule o módulo do campo magnético  $B$  no ponto  $S$ , localizado no centro da espira.

(d) Uma espira quadrada de fio, de lado  $L$  e sem nenhuma corrente, é colocada próxima a um fio infinitamente longo que transporta uma corrente  $i'$ . A distância do fio longo ao centro da espira é  $D$ , como mostrado na Figura (c). Determine a intensidade do fluxo magnético gerado pelo fio através da espira.

- Q8. Um feixe de nêutrons formando uma onda de matéria de comprimento de onda  $\lambda$  incide sobre um cristal fazendo um ângulo  $\theta \in [0, \pi/2]$  com os planos cristalinos. A distância entre dois planos cristalinos adjacentes é  $d$ , como mostrado na figura. A energia de repouso do nêutron é  $E_n^0 = 940$  MeV.



- (a) Deduza a expressão que relaciona  $\lambda$ ,  $\theta$  e  $d$  e que descreve a reflexão de Bragg.  
 (b) Um cristal tem planos cristalinos separados por  $d = 1,1$  Å. Usando nêutrons com energia cinética  $K = 1,9$  eV, em quantos valores diferentes de  $\theta$  é observada a reflexão de Bragg?  
 (c) Explique como um cristal pode ser usado como filtro para selecionar velocidades de nêutrons a partir de um feixe com uma distribuição larga de velocidades.  
 (d) As relações  $E = h\nu$  e  $p = h/\lambda$  também são válidas no regime relativístico, sendo  $E$  a energia relativística total da partícula,  $p$  o seu momento linear e  $\lambda$  e  $\nu$  o comprimento de onda e a frequência da onda de matéria associada, respectivamente. Encontre a **velocidade de fase** de uma onda de matéria associada a nêutrons relativísticos em termos de  $E_n^0$  e  $\lambda$ . O resultado é maior, menor ou igual à velocidade da luz no vácuo? Encontre também a **velocidade de grupo** da onda, compare com a velocidade de fase e comente os resultados.
- Q9. Considere um oscilador harmônico quântico unidimensional de massa  $m$  e frequência angular  $\omega$ , descrito pelo hamiltoniano

$$\hat{H} = \frac{\hat{p}_x^2}{2m} + \frac{1}{2}m\omega^2\hat{x}^2,$$

onde  $\hat{x}$  e  $\hat{p}_x$  são os operadores canônicos conjugados de posição e momento linear da partícula, respectivamente. Os autoestados de energia são denotados por  $|n\rangle$  ( $n = 0, 1, \dots$ ), com os correspondentes autovalores  $E_n = (n + \frac{1}{2})\hbar\omega$ . Esse problema também pode ser formulado em termos de operadores não hermitianos  $\hat{a}$  e  $\hat{a}^\dagger$ , sendo  $\hat{a}^\dagger$  o adjunto hermitiano de  $\hat{a}$  e

$$\hat{a} = \sqrt{\frac{m\omega}{2\hbar}}\hat{x} + \frac{i}{\sqrt{2m\hbar\omega}}\hat{p}_x.$$

Verifica-se que a ação desses operadores sobre os autoestados de energia satisfaz as relações

$$\hat{a}|n\rangle = \sqrt{n}|n-1\rangle, \quad \hat{a}^\dagger|n\rangle = \sqrt{n+1}|n+1\rangle.$$

- (a) Obtenha a relação de comutação entre  $\hat{a}$  e  $\hat{a}^\dagger$  e reescreva o hamiltoniano em termos de  $\hat{a}$  e  $\hat{a}^\dagger$ . Por que o operador  $\hat{N} \equiv \hat{a}^\dagger\hat{a}$  é denominado *operador número*? Considere agora um **oscilador harmônico bidimensional**, cujo hamiltoniano é dado por

$$\hat{H}_2 = \frac{\hat{p}_x^2}{2m} + \frac{\hat{p}_y^2}{2m} + \frac{1}{2}m\omega_x^2\hat{x}^2 + \frac{1}{2}m\omega_y^2\hat{y}^2$$

- (b) Apresente argumentos que justifiquem o fato de que os autoestados de energia do problema bidimensional podem ser escritos como  $|n_x, n_y\rangle \equiv |n_x\rangle \otimes |n_y\rangle$ , com  $|n_x\rangle$  e  $|n_y\rangle$  sendo autoestados

de osciladores harmônicos unidimensionais de frequências angulares  $\omega_x$  e  $\omega_y$ , respectivamente. Obtenha os autovalores de energia  $E_{n_x n_y}$  do problema bidimensional.

(c) Suponha que o estado da partícula no instante  $t = 0$  seja dado por

$$|\psi(t = 0)\rangle = \frac{1}{\sqrt{5}} \left( |n_x = 2, n_y = 0\rangle + 2|n_x = 1, n_y = 1\rangle \right).$$

Escreva o estado  $|\psi(t)\rangle$  para um tempo genérico  $t > 0$ . Se uma medição da energia total do sistema for feita em um instante  $t' > 0$ , qual é a probabilidade de o estado logo após a medição apresentar valor esperado de  $\hat{p}_x^2$  dado por  $\langle p_x^2 \rangle = 5m\hbar\omega_x/2$ ?

(d) Para o caso do potencial isotrópico ( $\omega_x = \omega_y \equiv \omega$ ), determine o grau de degenerescência do  $n$ -ésimo estado excitado.

Q10. Um sistema de  $N$  partículas distinguíveis não interagentes é descrito pelo hamiltoniano

$$H = \sum_{i=1}^N \varepsilon_i. \quad (1)$$

A energia de cada partícula  $\varepsilon_i$  só pode assumir dois valores:  $\varepsilon_i = 0$  ou  $\varepsilon_i = \Delta > 0$ . Portanto, cada microestado do sistema é descrito pelo conjunto de valores  $(\varepsilon_1, \varepsilon_2, \dots, \varepsilon_N)$ .

(a) Se o sistema possui energia total  $E$ , que é um múltiplo inteiro de  $\Delta$ , o número total de microestados possíveis é

$$\Omega(E, N) = \frac{N!}{(E/\Delta)!(N - E/\Delta)!}. \quad (2)$$

Com base no postulado fundamental da mecânica estatística, qual é a probabilidade de se encontrar o sistema em um microestado específico?

(b) Calcule a entropia por partícula do sistema  $s = S/N$  como função da energia por partícula  $u = E/N$  no regime  $N \gg 1$ . Utilize a aproximação  $\ln N! \approx N \ln N - N$ , válida para  $N \gg 1$ .

(c) Determine a temperatura do sistema como função de  $u$ . Existe algum intervalo de valores de  $u$  em que a temperatura é negativa?

(d) Calcule o calor específico do sistema. Existe algum regime em que o calor específico é negativo?